

# 6. Dichtematrixdynamik (Aspekte)

dynamische Prozesse:

QM  $\psi(t_0) \xrightarrow{\text{Schrödinger}} \psi(t) \rightarrow \langle \psi | O | \psi \rangle = \langle O \rangle$

Q-Statistik  $\rho(t_0) \xrightarrow{\text{von Neuman}} \rho(t) \rightarrow \text{sp}(O\rho) = \langle O \rangle$

$$\langle O \rangle = \sum_{i,j} \langle i | O | i \rangle \underbrace{\langle i | \rho | i \rangle}_{\rho_{ii}(t)}$$

↓ Dichtematrix  $\rho_{\text{aus}}(t)$  bestimmt die zeitliche Entwicklung der Observablen  $O$  (Schrödingerbild)

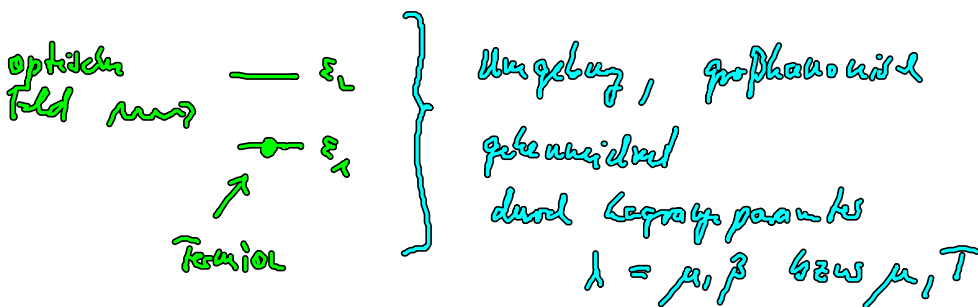
Theorie der Anfangsbeding. siehe letzte VL

2 Grezfälle als Beispiel:

- optisch Absorption Atom im Wärmebad

- Entstehung von Feldgewichtszuständen durch interne Wechselwirkung

## 6.1. Optisch Absorption ein Zweilevelsystem

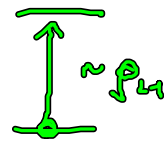


Modell f. atomar Übergang

Interessant  $\underline{0} = \vec{r}e$  (Dipoloperator), dh.

man benötigt  $\underline{p_{21}}$  bzw.  $\underline{p_{12}}$ , weil nach Auswahlregeln  $D_{11} = 0 = D_{22}$   
 $D_{12} \neq 0 \neq D_{21}$

$p_{21}$ : Übergang von höherer zu tieferer Energie



Modell an FD:

$$\vec{p}(\vec{r}, t) = \underbrace{\langle e\vec{r} \rangle}_{\text{Dipolmoment}} \delta(\vec{R}) \quad \text{Punktdipol in Elektrodenwand}$$

$$\hat{=} sp(p e\vec{r}) = \sum_{\substack{n=1 \\ m=2}}^{2,1} \langle n | p | m \rangle \underbrace{\langle m | e\vec{r} | n \rangle}_{\substack{\text{dun } \neq 0 \\ \text{f. } m \neq n}}$$

Perturbationsgleichg. auf 2 Niveaus spezifizieren  
 (Aufgabe 7c)

$$i\hbar \partial_t \rho = [H, \rho] \rightarrow i\hbar \partial_t \rho_{21}(t) = \underbrace{(\epsilon_2 - \epsilon_1)}_{\text{freie Schwingg.}} \rho_{21} + \underbrace{V_{21}}_{\text{Kopplg. an das Feld (Quell)}} (\rho_{21} - \rho_{12})$$

u. Voraussetz.  $H = \underbrace{H_0}_{\text{Atom}} + \underbrace{V}_{\text{Wechselwirkung mit dem elektromagn. Feld}}$

$$H_0 |u\rangle = \epsilon_u |u\rangle \quad u = 1, 2$$

$$V_{um} = \langle u | V | m \rangle, \quad u, m = 1, 2$$

es erscheint Kopplg. an  $\rho_{11}, \rho_{22}$ . = Konstr. gekoppelt

→ Bestenfalls sehr leicht für  $p_{11}$  bzw.  $p_{22}$  bestimmen  
wie das Kopplg. an das Feld ist

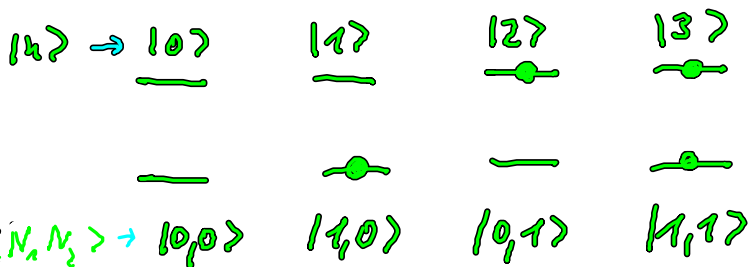
Dgl. erfordert Anfangsbeding. + Lösung

### 6.1.1. Anfangsbeding. $p_{\text{an}}(t_0)$ festlegen

f.  $p_{\text{an}}(t_0)$  sind Zustände wichtig (u/p/m)

#### (i) mögl. Zustände

graphisch. Elemente als Anordng., Variable Teilch. Zahl



dh: 4 Zustände

$p_{\text{an}}(t_0)$  als Anfangsbeding.  $u, m : 0 \dots 3$  aus Eigenwertproblem

$$H_0 |0,1\rangle = \epsilon_1 |0,1\rangle$$

$$\underline{N} |0,1\rangle = 1 |0,1\rangle \quad \text{usw. } \underline{u} A$$

$$H_0 = \epsilon_1 \underline{N}_1 + \epsilon_2 \underline{N}_2$$

$$\underline{N} = \underline{N}_1 + N_2$$

(ii) Matrix  $\rho(t_0)$   $\rho(t_0) = R_{gk}(t_0) = \frac{1}{z_{gk}} e^{-\beta(t_0 - \mu N)}$

$$\langle 1, 0 | R_{gk} | 1, 0 \rangle = \langle 1, 0 | \frac{1}{z_{gk}} e^{-\beta(t_0 - \mu N)} | 1, 0 \rangle$$

$$= \underbrace{\langle 1, 0 | 1, 0 \rangle}_1 \frac{1}{z_{gk}} e^{-\beta(t_0 - \mu N)} \equiv \rho_{11}(t_0)$$

andere analog:  $\rho_{22}(t_0) = \frac{1}{z_{gk}} e^{-\beta(t_0 - \mu N)}$

$$\rho_{33}(t_0) = \frac{1}{z_{gk}} e^{-\beta(t_0 - \mu N)}$$

$$\rho_{21}(t_0) = \langle 0, 1 | R_{gk} | 1, 0 \rangle = 0$$

es existiert zu Beginn keine Kohärenz bzw.

Quantenüberlagerung, wird durch  $V_{21}$  hergestellt.

- $\beta, \mu, \xi$ : bekannt d. Analyse bzw. System
- $z_{gk}$  unbekannt, muß berechnet werden

(iii) Ausdruck v.  $z_{gk}(T, V, \mu)$

$$z_{gk} = \text{sp} \left( e^{-\beta(H - \mu N)} \right)$$

$$= \sum \langle u | e^{-\beta(H - \mu N)} | u \rangle$$

$$\begin{aligned}
&= \sum_{N_1, N_2} \langle N_1, N_2 | e^{-\beta(\mu_1 N_1 + \mu_2 N_2)} | N_1, N_2 \rangle \\
&= \sum_{N_1, N_2} \langle N_1, N_2 | e^{-\beta(\varepsilon_1 N_1 + \varepsilon_2 N_2 - \mu(N_1 + N_2))} | N_1, N_2 \rangle \\
&= \sum_{N_1=0}^{\infty} e^{-\beta(\varepsilon_1 - \mu) N_1} \sum_{N_2=0}^{\infty} e^{-\beta(\varepsilon_2 - \mu) N_2}
\end{aligned}$$

$$Z_{gk} = \left( 1 + e^{-\beta(\varepsilon_1 - \mu)} \right) \left( 1 + e^{-\beta(\varepsilon_2 - \mu)} \right)$$

$$\rightarrow Z_{gk} = Z_{gk}(T, V, \mu), \quad \varepsilon_i = \varepsilon_i(\nu)$$

Damit sind die Anfangsbedingungen bekannt.

(alles ab Zeit d. Umlegg. bzw. Spoke angeschlossen)

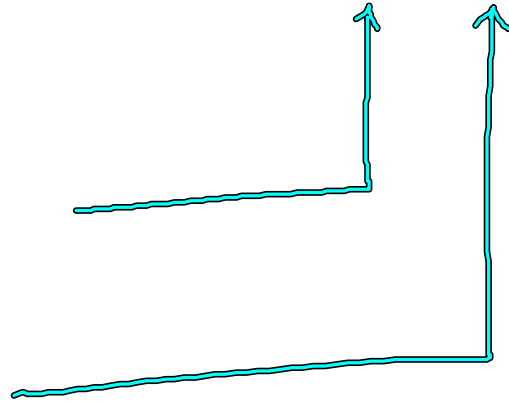
### 6.1.2. Diskrete Differentialgleichung

$$i\hbar \partial_t \rho_{21}(t) = (\varepsilon_2 - \varepsilon_1) \rho_{21}(t) + V_{21} (\rho_{11} - \rho_{22})$$

$$p_{z_1}(t_0) = 0$$

$$p_{z_1}(t_0) = \frac{e^{-(\epsilon_1 - \mu)\beta}}{z_{gk}}$$

$$p_{z_2}(t_0) = \frac{e^{-(\epsilon_2 - \mu)\beta}}{z_{gk}}$$



$p_{z_2}(t)$  ist genau mit Quelle  $V_{z_1}(p_{z_1}(t_0) - p_{z_2}(t_0))$

$T$  - leicht zu verstehen

$\mu$  - schwer zu verstehen

oft wird  $\mu$  auf Kosten v.  $\langle N \rangle$  an der Theorie gemacht

$$\lambda_v = \lambda_v(\langle g_\mu \rangle) \text{ unter}$$

$$\mu = \mu(\langle N \rangle)$$

weil Anzahl  $a$  bleibt geben wir uns  $\langle N \rangle$  als mittlere Teilzahl im System vor

$$\langle N \rangle \text{ berechnen nach } \langle g_v \rangle = - \frac{1}{z_{gk}} \frac{\partial}{\partial \lambda_v} z_{gk} = - \frac{\partial}{\partial \lambda_v} \ln z_{gk}$$

$$\text{folgt aus } z_{gk} = \text{sp}(e^{-\beta(H - \mu N)})$$

$$\downarrow \langle N \rangle = \frac{\partial}{\partial \mu \beta} \ln z_{gk}$$

$$= \frac{1}{e^{\beta(\epsilon_1 - \mu)} + 1} + \frac{1}{e^{\beta(\epsilon_2 - \mu)} + 1}$$

kann genutzt werden f.  $\mu = -\mu$  ( $\langle N \rangle$ )

einfachster Punkt  $\langle N \rangle = 1 \rightarrow \mu = 0$

Zurück zu Quellform des Dipoldichte

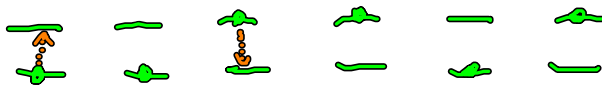
$$(p_{11} - p_{22}) = \frac{1}{2g_u} (e^{-\beta \epsilon_1} - e^{-\beta \epsilon_2})$$

$$\begin{array}{l} \text{---} \epsilon_{0/2} \\ \text{---} 0 \\ \text{---} -\epsilon_{0/2} \end{array} = \frac{1}{2g_u} (e^{\beta \frac{\epsilon_0}{2}} - e^{-\beta \frac{\epsilon_0}{2}})$$

- ist ein Faktor von  $\beta = \frac{1}{kT}$

- freie Fall: (i)  $\beta \rightarrow 0, T \rightarrow \infty \downarrow$  Quellter  $\rightarrow 0$

$T \rightarrow \infty$  Ensemble, im Mittel genau wie oben wie unten



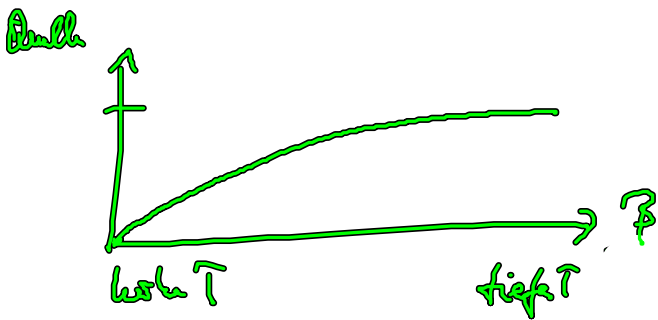
Absorption und Emission halten sich die Waage  $p_{21} = 0$

(ii)  $\beta \rightarrow \infty, T \rightarrow 0 \downarrow$  Quellter  $\neq 0$

$T \rightarrow 0$  Ensemble, im Mittel sind alle  $\pm N_S$  im unteren Zustand



Absorptionsprozesse finden statt



Es gilt auch  
hier:



(auch Theorie) "System ungekoppelter Temperatur"

Interpretation ist fragwürdig

⇒ Lagepunkte d. Umgeb. bestimmen / modifizieren  
 die bisherige Theorie aus TP I-III

## 6.2. Grenzfall d. Dichtematrixgleichungen

Von der Quantenmechanik über kinetisch zum Fluidpunkt

6.2.1. Dichtematrix für System und innere Gleichung.

Vieldeutigkeit DM-Gleichung.



a) Diagonalelemente  $p_{nn}$ : Wahrscheinlichkeit Syst in Zustand  $|n\rangle$  zu finden

$$i\hbar \partial_t p_{nn} = \sum_u (H_{un} p_{nu} - p_{nu} H_{un})$$

$p_{nn}$  wird durch  $p_{nu}$  angetrieben

$u \neq n$  

ausdrück f. klassisch Physik (Quant überlag.)

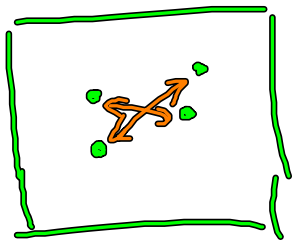
b) Nichtdiagonalelemente  $p_{mn}$

$$i\hbar \partial_t p_{mn} = \sum_i (H_{mi} p_{in} - p_{in} H_{mi})$$

Wie entsteht ein klassisch System die wo durch  $p_{nn}$  bestimmt ist?

(Diagonalelemente  $p_{nn}$ )

dann Syst mit inneren WW



$$H = H_0 + V_{\text{interne WW}} \equiv H_0 + V$$

$H_0 |n\rangle = \epsilon_n |n\rangle$  so bekannt

$V$  soll störungstheoretisch behandelt werden

benutzt wird  $H_{un} = \epsilon_n \delta_{un} + V_{un}$

einsetzen in Diracmatrixgleichung:

$$i \hbar \partial_t \rho_{un} = (\epsilon_n - \epsilon_u) \rho_{un} + \sum_i (V_{ui} \rho_{in} - V_{in} \rho_{ui})$$

Ziel: Formeln bzgl. dieser Gleichung finden,  
in die die QM beinhaltet ist (Energie-Zeit-Unschärfe)

↓ 3 Bedeutungen:

- a) volle Quantendynamik aus DM-folgen  
Energie-Zeit-Unschärfe voll ausgebildet

$$\Delta t \cdot \Delta E \geq \text{konstant}$$

↑                      ↓  
Dauer der              Energieunsch.  
Wechselvorg.        beim Stoß  
bzw. Beobachtung.

- b) durch „nicht genau fixierte“

$\Delta t \rightarrow$  groß und  $\Delta E$ -klein  $\rightarrow$  klass. Beid

Teilchen verhalten sich wie Billardkugeln

weil Teilchen beim Stoß d. Wellenpaket  
nicht zerfallen sind.

- c) „sehr ungenaue“

Lagrange Felder sind angelegt  
 dh. während der Beobachtungzeit passiert sehr viele Stöße,  
 es bildet sich immer sofort ein neues fließendes  
 Geran und es findet ein Abfluss  
 von fließendem Strom statt

Quarkhülle	→	Kern	→	Hydrogenat
$a$		$b$		$c$
$\rho_{qu}(t)$		$\rho_{nu}(t)$		$\rho_{nu}^0(h_{nu}(t))$
$u \neq n$				( $\rho^0 \hat{=} \text{fließend verteil.}$ )

### 6.2.2. Ableitg. d. Mastergleichungen

formel log. v.  $\dot{\rho}_{nu}$  = ...

$$\rho_{nu}(t) = -i \int_{-\infty}^t dt' Q(t') e^{-i(\omega_n - \omega_n)(t-t')}$$

$\uparrow$  Einsetzen der WW  
 $\underbrace{\hspace{2cm}}$  Ansatz der fließ. (nu)  
 $\omega_n = \frac{E_n}{\hbar}$

gibt Näh. um  $E$ -Ziel kleinstich los zu werden

$$\rho_{nu}(t) = -i \int_0^{\infty} d\zeta Q(t-\zeta) e^{-i(\omega_n - \omega_n)\zeta}$$

$\zeta = t - t'$  als neue Koordinate

## 2 Nöherige Störung

a) in  $Q$  werden nur gleich Phasen aufgenommen

$$\sum_i e^{-i(\omega_i - \omega_n) t} p_{ik} \rightarrow \delta_{ik}$$

Term soll sich annullieren  
(Zähler soll d.h. 1.1. liegen)

b) die Oszillation von  $(\omega_n - \omega_n)$  soll

Schnell sein im Vergleich zu  $Q(t-\tau)$

$Q \approx$  Wk. d. h. v. g.

$$\downarrow Q(t-\tau) \approx Q(t)$$

$\hat{=}$  Markoffnähe / Vernachlässig. v. Jochdrehmoment

und (a) + (b) wird  $p_{nk}$  in  $\dot{p}_{nk}$  überführt  $\downarrow$

### 6.2.3. Mastergleichung f. $p_{nk}(t)$

$$\partial_t p_{nk} = - \sum_m \left( \underbrace{W_{n \rightarrow m}}_{\text{Austrag}} p_{nk}(t) - \underbrace{W_{m \rightarrow n}}_{\text{Einkang}} p_{mk}(t) \right)$$

$$W_{\substack{n \rightarrow m \\ m \rightarrow n}} = \frac{2\pi}{\hbar^2} |V_{nm}|^2 \delta(\omega_n - \omega_m)$$

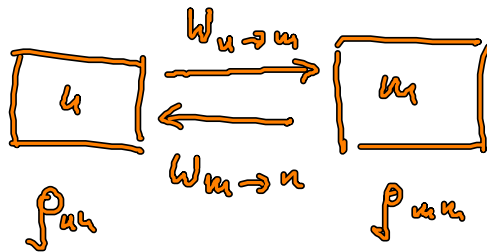
Bemerkung :

a) Dgl system f. Besetzung  $p_{un}$   
"Rate glg" , "Massengleichung"

b)  $W_{n \rightarrow u}$  sind Rate (Einheit  $\frac{1}{s}$ )

beschreiben Übergangsrate d. Systems  
von Zustand  $n \rightarrow$  Zustand  $u$

c)



Übergänge beschreiben Verlust und Gewinn v. Wahrscheinlichkeit

d)  $W \sim$  Fermi's goldener Regel

$W_{n \rightarrow u}$  wirkt wie f. Zustände gleicher Energie

beim Übergang ist immer  $E$ -Erhaltung gewährleistet

Energie-Zeit Unschärfe ist entscheidend, aufgrund der Nödig.

$Q(t \rightarrow \infty) \rightarrow Q(t)$  d.h. Beobachtg. auf Langzeitzeitstrahl

$\rightarrow$  man beobachtet zwischen d. Stößen, nicht während  
d. Stöße,  $\rightarrow$  ist genügend Zeit vergangen damit  
Energie selbst ist